

III-181 マサ土のセン断特性と土粒子破碎について

関西大学工学部 正員・西田一彦

同 正員 香川満

1. まえがき

著者らはマサ土のセン断強度に及ぼす土粒子物理的影響を重視し、すでに風化度とせん断強度の関係について報告した。⁽¹⁾⁽²⁾ それによると、拘束圧の小さい範囲におけるセン断強度は風化度、とくに上粒度内空隙の多少に依存していることが明らかにされている。そこで、今回は拘束圧の大きな範囲において、上記の関係がいかに変化するかを明らかにし、さらに、セン断とともに生ずる土粒子破碎がどのような過程で進るかを調べたので報告する。

2. 実験方法

用いたマサ土は六甲

表-1				
試料	風化度	真比重(G_a)	かさ比重(γ_a)	粒度
No.1	小	2.646	2.431	0.074
No.2	大	2.621	2.050	~2.0 mm

で、それらの物理的性質は表-1に示したとおりである。ここで、風化度の尺度としてはみかけ比重(かさ比重、 γ_a)を用いて表わし、 γ_a の小さいものが風化の進んだ試料である。また、鉱物組成は両者とも大差なく、有色鉱物量は5%以下である。

これらの試料を50°Cで燃焼燥したものを種々の間隙比によるよう締固め供試作を作製し、ワイケハムフラン社製高圧三軸試験装置(最大測圧140kg/cm²)によってせん断試験を行なった。 $\sigma_3 = 5 \text{ kg/cm}^2$ 以下の低圧領域については普通の三軸試験装置によった。両場合ともせん断速度は1%/minであり、完全排水状態で行なった。なお、せん断前後の試料についてX線による鉱物分析、水分吸着装置による吸着水分量の測定もあわせて行なった。

3. 実験結果とその考察

上記2種類の試料についてのせん断実験結果の一例は図-1, 2のとおりである。これから、 σ_3 の小さい範囲ではNo.1とNo.2に大きな差がみられるが、 σ_3 の増大によってNo.1とNo.2が互いに近づく傾向を示す。また、 σ_3 の大きい範囲ではNo.2がNo.1より小さいヒズミの下で最大の軸差応力を示し、 σ_3 の大きい範囲ではこの関係が逆になりNo.2の方が大きいヒズミの下で最大の軸差応力の最大値を示す。

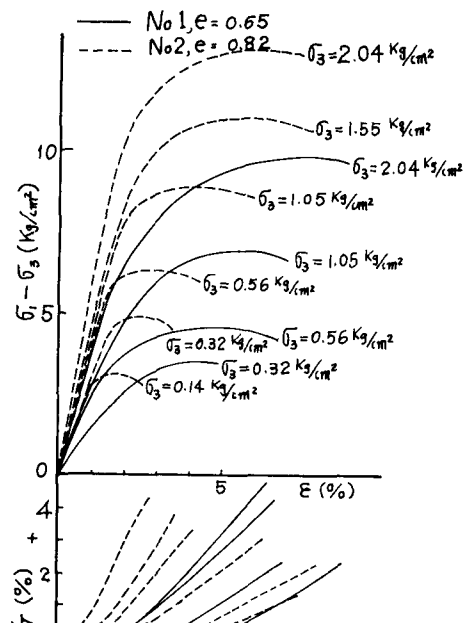


図-1

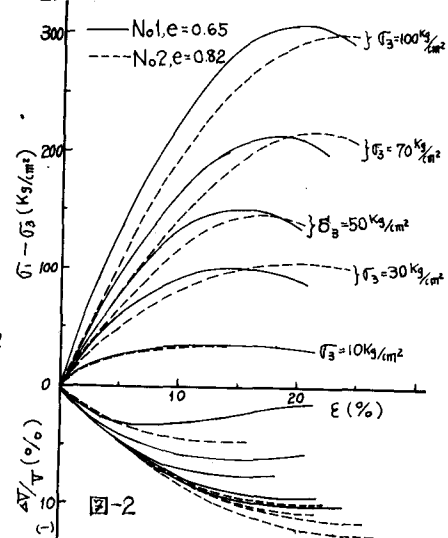
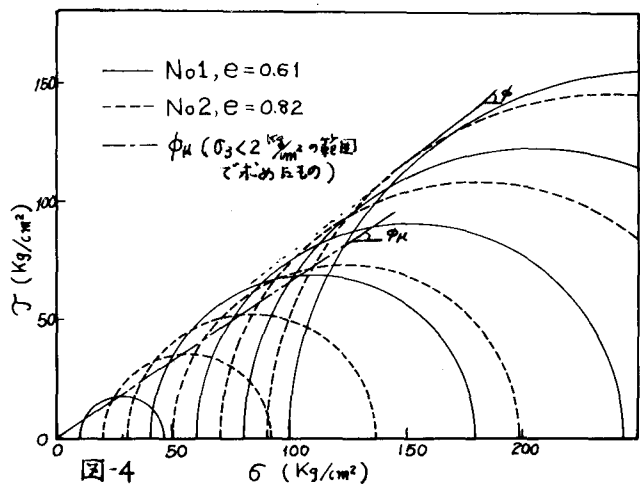
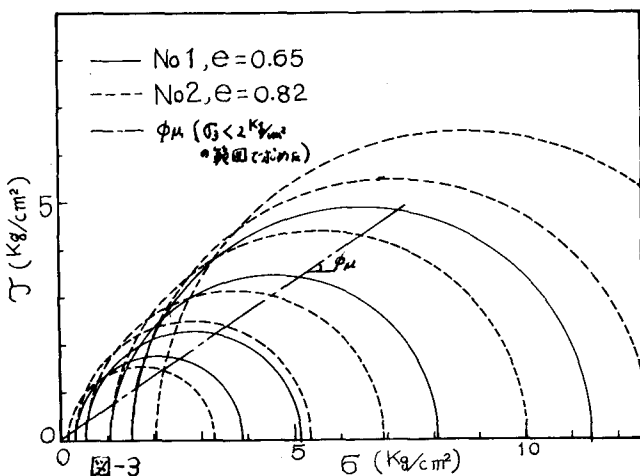


図-2

そこで、図-1, 2, から、 σ - τ 曲線を描くと図-3, 4のようになる。

これによると、 $\sigma = 5 \text{ kg/cm}^2$ までは、包らく線の勾配は大きな値であるが、 $\sigma = 30 \text{ kg/cm}^2$ 以上になると、じょじょに勾配は小さくなり、 50 kg/cm^2 以上ではほぼ一定の勾配が近づこうとする傾向がみえる。また、No.1 と No.2 を比べると、側圧の小さい範囲では No.2 が No.1 よりでの値が大きいが、側圧が大きくなると、剛性比の大小にかかわらず No.1, No.2 がほぼ同一での値を示す傾向が表われる。さうに、図-3において、 $\sigma_3 < 2 \text{ kg/cm}^2$ の範囲で、Rowe のダイレクシーネル正式^④を用いて土粒子間のマサント角 ϕ_M を求めると一貫破線のようになる。これから、高側圧下においては、図-2 のように負のダイレクシーネル示すにもかかわらず、 ϕ_M の値が補正しない場合の中より小さな値。このことは高側圧下における土粒子破碎がせん断強度に大きく関与していることを暗示する。

そこで、No.1, No.2 のせん断前、 $\sigma_3 = 1.05\%$, $\sigma = 100 \text{ kg/cm}^2$ せん断後の 3 つの場合の各



試料について粒度分析を行ない、さうに X 線回折装置を用いて、各粒径段階における試料中の石英、正長石、その他(斜長石(粘土化したもの)、有色鉱物)の定量を行なつた。定量法としては、螢石(CaF_2)を基準試料とし、あらかじめ、石英、正長石の含有%のわかつて、いはる試料に螢石を混入し、螢石の個々の回折線($2\theta = 28.25^\circ$)と石英の個々の回折線($2\theta = 26.64^\circ$)、正長石の回折線($2\theta = 29.5^\circ$)のピーク高さの比を求め、各鉱物の含有%とピーク比の較正曲線を求めておいてから、未知試料の各鉱物を定量した。ただし、斜長石は覆被して一部カオリ化なし、結晶度が変化が大きいので、今回は石英、正長石以外の部分に含まれるとみなし、定量はしあげられた。この方法は、基準物質の螢石と他の鉱物の重量比が X 線ピーク高さの比と比例の關係があり、該物の組合せが異なつても、その團体が離らないという仮定に立っているものである。したがつて、多大の誤差はあるが、顯微鏡で識別し得る各細粒分の定量に有効である。

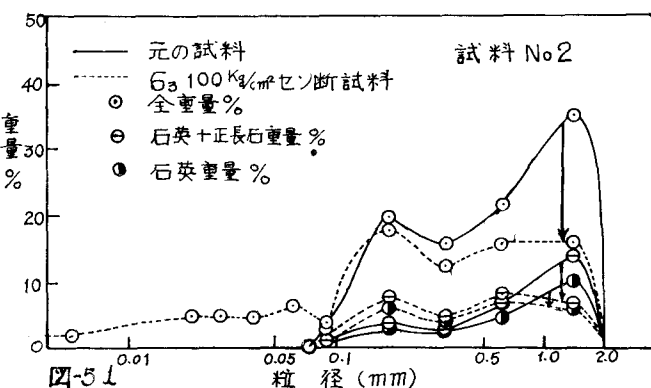
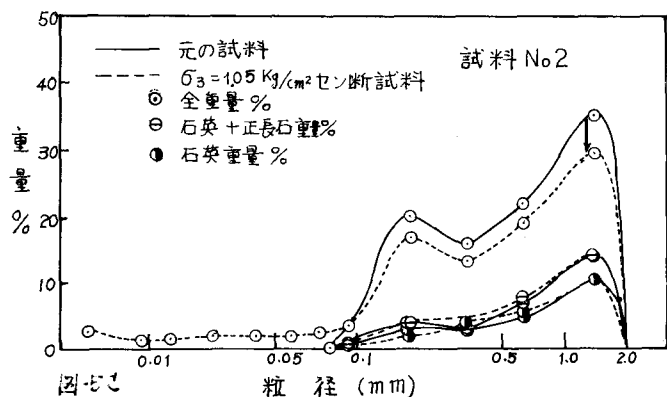
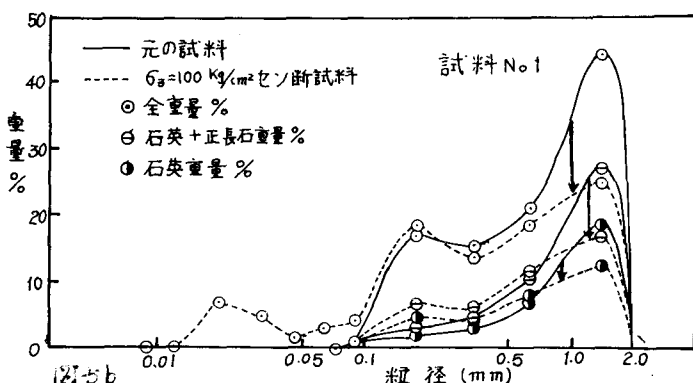
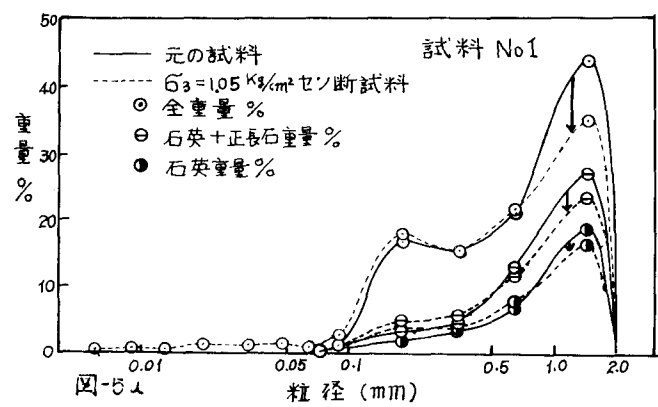
その結果は図-5a, 5b, 5c, 5d に示したとおりである。これからわかるように、試料 No.1, No.2 とも高拘束圧下においてはいちぢるしく破碎しているが、くわしくみると、No.1, No.2 とも $\sigma_3 = 1.05\%$

のものは破碎の程度が少なく、破碎は主に正長石とその他(斜長石、有色鉱物)に限られており、その変化は主に1.0へ2.0 mmの部分が74 μ以下に移行する傾向であるとみえる。

また、 $G_3 = 100 \text{ kg/cm}^2$ の場合は、長石類はもうろん、石英までかなり大粒に破碎しており、とくに、No.2 の石英は1.0~2.0 mmの部分が大きく破碎するのにに対し、No.1 のそれはやや破碎の程度が少ない。そして、No.1、No.2 のいずれの場合も、石英、正長石は74 μ以下に破碎する分が多くわざかであって、74 μ以下に移行する大部分のものは、石英、正長石以外の分、すなわち斜長石、有色鉱物である。しかし、斜長石、有色鉱物はすでに、粒子内部においてカオリ化している部分を含むので、その粘土分が分散したとみられる。

このことから、拘束圧の小さい範囲では、破碎の程度は少なく、土粒子内空隙を有する斜長石が残存しているが、拘束圧の増大とともに斜長石の破碎が増大し、拘束圧が100 kg/cm²に達すると斜長石の大部が破碎され、さらに、破碎は石英まで及ぶことになる。そして、化粧の進んだ試料は斜長石の強度が小さいので、せん断応力が石英に集中する結果、石英の破碎量の増大となる現われるものと考えられる。

つぎに、表-1 から明らかなように風化の進んだ No.2 はかさ比重



が小さく、多量の土粒子内空ゲキを有するとみられ、これが、セシ断にともなう土粒子破碎によって解放されるものと考えられる。そこで、セシ断前の元の試料、 $\sigma_3 = 100 \text{ kg/cm}^2$ セシ断後の試料、について水分吸着実験を行なつた。方法は、温度40°Cで、 10^{-4} mmHg の真空状態から飽和蒸気圧まで増大させる吸着過程と、飽和蒸気圧からじよじよ減圧して元にもどす脱着過程の間におりる吸着水分量を石英バランスで測定するものである。その結果は図-6のとおりであつて、风化の進んだNo.2は大きな吸着量を示し、吸着過程と脱着過程に大きな差があるがNo.1は少ない。この差(ヒステリシス)は土粒子内部に空ゲキが存在することを意味するもので、脱着過程からセルビンの式⁴⁾⁵⁾

$$r = (2VT/R\tau) / \log_e \frac{P}{P_0}$$

τ: 吸着時間, P: 表面張力,
R: 気体定数, T: 絶対温度
P: 吸着圧力, P₀: 饱和蒸気圧

によって土粒子内空ゲキの毛管半径 r を計算することができる。そこで、飽和蒸気圧における水分吸着量 V_0 とし、任意の脱着圧力における吸着量 V として、毛管半径 $(\text{Å}) = \sqrt{V/V_0}$ を圖示すれば、これは上粒子内空ゲキの孔径加積曲線となる。そこでこの加積曲線の各点における勾配 $d(V/V_0)/dr$ を求めると図-7のようになり、各孔径(毛管半径)の頻度分布が得られる。

図-7より、上粒子内空ゲキのうち、大きい範囲(100 Å 以上)のものは不明確であるが、 100 Å 以下については、No.2の方がNo.1より、径の大きい空ゲキが多く、セシ断によつて、大きい空ゲキが減少することが明らかである。

4.まとめ

マサ土のセシ断強度は土粒子の風化度と拘束圧の大きさに支配される。拘束圧の小さい範囲では多孔隙の風化土粒子も破碎されることはなく、一つの土粒子として挙動し、拘束度の低いものより強度が大きく見えるが、高い拘束圧下では土粒子破碎によつて土粒子内空ゲキが解放される結果、初期の剪断比によらず一定のセシ断抵抗角に近づく傾向を示す。また、高い拘束圧下ではセシ断抵抗の一部が土粒子破碎抵抗によるものと見られ、風化度の大きい試料は深層の小さな表面のかたかわりとして石英が多く破碎される。

参考文献

- 西田一彦、菅川清「マサ土の土粒子特性とセシ断強度について」土木学会第25回講演概要、Ⅱ部、pp. 375~376.
- 西田一彦、菅川清「マサ土のセシ断強度について」日本第47年度土木学会第25回講演概要、pp. 42~45~46.
- D. W. Rowe, D. B. Dales, N. A. Schermer (1963) The Stress-Dilatancy Performance of two Clays. A.S.T.M Special Publication, No. 316. pp. 134~143.
- 川口公夫、種田真一(昭和42) 粉体工学、7章2節、pp. 174~175.
- R. Torrence Marlin (1957) Water-Vapor Sorption on kaolinite, Hysteresis, Proc. 6th. Natl. Conf. Clay Min. pp. 259~278.

